

Kvantová, atómová a subatómová fyzika

Atóm vodíka - východiská atómovej fyziky

Thompsonov (pudingový) model atómu

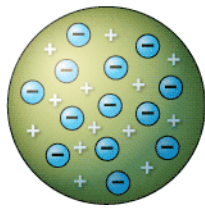
J.J. Thompson:

1897 - objav elektrónu, atóm je však elektricky neutrálny

Pudingový model: (pozor, anglický „puding“ je vlastne koláč)

Kladný náboj je rovnomerne rozdelený po celom objeme atómu. Elektróny sú tiež rozmiestnené rovnomerne v celom objeme (ako slivky v koláči-pudingu) a kmitajú okolo pevných bodov. (U nás by sme asi skôr hovorili o hrozienkach v koláči)

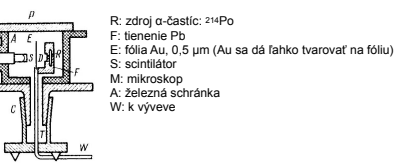
Ak by sme takýto atóm ostreľovali kladne nabitymi časticami, kladný náboj rozdelený po celom jadre by dopadajúce častice odchýlil len nepatrne.



Geigerov-Marsdenov experiment

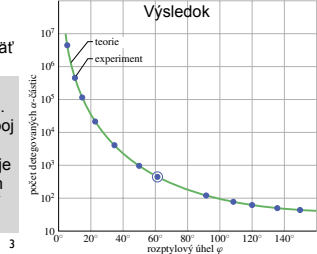
1909, Hans Geiger (D), Ernest Marsden (NZ), Manchester, asistent Ernesta Rutherforda

Rozptýl α -častic na zlatej fólii



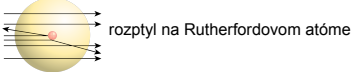
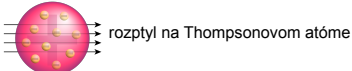
Prekvapivý výsledok:
 veľmi veľa α -častic odrazených prakticky späť

Ernest Rutherford (mierne parafrázovaný):
 Bol to najúžasnejší výsledok v mojom živote.
 Bolo to, ako keby strel vypálili 15 palcový náboj
 do toaletného papiera a ten sa od neho
 odrazil naspäť. Uvedomil som si ... že efekt je
 dôsledkom jedinej zrážky. Výpočet mi potom
 ukázal, že veľká časť hmotnosti atómu musí
 byť sústredená v miniatúrnej časti objemu.



Rutherfordova interpretácia: nový model atómu

α -častice sa rozptyľujú na veľmi malom kladne nabitém jadre

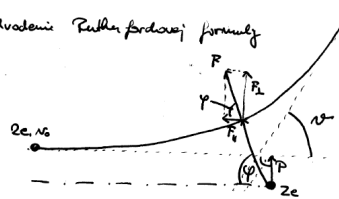


$$p = \frac{k}{mv_0^2} \cot \frac{\vartheta}{2}$$

$$dn = n N h \left(\frac{k}{2mv_0^2} \right)^2 \frac{1}{\sin^4 \frac{\vartheta}{2}} d\Omega$$

$$k = \frac{2Ze^2}{4\pi\epsilon_0}$$

p: parameter zrážky (pozri obrázok)
 n: počet dopadajúcich častic
 N: koncentrácia atómov vo fólii
 h: hrúbka fólie
 m: hmotnosť častic
 (odvodenie formúli na MOODLE)



Účinný prierez

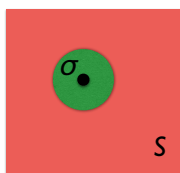
počet častic, ktoré sa rozptýlia určitým spôsobom
časticie sa tak rozptýlia, ak trafia do zeleného terča (ktorý zodpovedá okolia jadra)

$$n = j \sigma \Delta t$$

j : prúd častic = počet častic, ktoré prejdú cez jednotku plochy za jednotku času

σ : účinný prierez, rozmer plochy

Δt : čas, po ktorom dopadá prúd častic



účinný prierez pre rozptyl na uhol väčší ako θ

$$\sigma = \pi p^2 = \pi \frac{k^2}{4E_k^2} \cot^2 \frac{\theta}{2}$$

účinný prierez pre rozptyl na uhly z intervalu $(\theta, \theta+d\theta)$

$$\left| \frac{d\sigma}{d\theta} \right| = \pi \frac{k^2}{4E_k^2} \cot \frac{\theta}{2} \frac{1}{\sin^2 \frac{\theta}{2}}$$

5

Rozmer jadra z rozptylu α-častíc

Rutherfordova formula platí pre nízke energie α-častíc. Od určitej energie (urýchľovacieho napäťa) prestáva platí.

Najbližšie sa α-častice priblížia k jadru pri nulovom parametri zrážky (ked nalietavajú priamo na stred jadra a odrazia sa presne naspráv)

Najbližšie priblženie z rovnosti kinetickej energie $E_k = e.U$ a potenciálnej energie v bode obratu

$$R = \frac{1}{4\pi\varepsilon_0} \frac{Ze^2}{E_k} = \frac{1}{4\pi\varepsilon_0} \frac{Ze}{U}$$

ak U je maximálne urýchľovacie napätie, kde Rutherfordova formula platí, toto je horný odhad pre polomer jadra

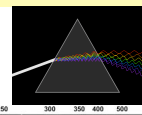
Rutherfordova formula prestáva platí pre vysoké energie, pretože v takom prípade sa α-častice dostávajú blízko jadra a začnú cítiť aj jadrové sily.

6

Spektrá

Spektrá:

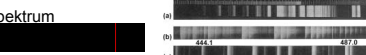
- súvislé - vyžarujú tuhé telesá a husté plyny
- čiarové - typické pre atómy
- pásmové - pásma pozostávajú z mnohých čiar, vyžarujú molekuly



súvislé spektrum



čiarové spektrum



Spektrá:

- absorpcné
- emisné (substanciu treba vybudíť k žiareniu)

Continuous Spectrum

Emission Lines

Absorption Lines



pásmové spektrá



Pre vlnové dĺžky sa udáva hodnota vo vákuu $\lambda_{vac} = n\lambda$

$$\text{vlnočet } \rho = \frac{\nu}{c} = \frac{1}{\lambda_{vac}}$$

7

Viditeľné spektrum vodíka: Balmerova séria



charakteristické čiary:

$H_\alpha = 6563 \text{ Å} = 656,3 \text{ nm}$ (1853, Anders J. Ångström)

$H_\beta = 4861 \text{ Å} = 486,1 \text{ nm}$

$H_\gamma = 4340 \text{ Å} = 434,0 \text{ nm}$



Vlnové dĺžky možno vyjadriť (Johann J. Balmer, 1885)

$$\lambda = \frac{Gn^2}{n^2 - 4}$$

$G = 364,56 \text{ nm}, n = 3, 4, 5, 6, \dots$

$$\rho = \frac{1}{\lambda} = \frac{1}{G} \frac{n^2 - 4}{n^2} = \frac{4}{G} \left(\frac{1}{4} - \frac{1}{n^2} \right)$$

$$\rho = R \left(\frac{1}{4} - \frac{1}{n^2} \right)$$

Rydbergova konštantá: $R = 10,97 \mu\text{m}^{-1}$ (Johannes R. Rydberg)

8

Celé spektrum vodíka

Aj ďalšie série sú možné:

$$\rho = R \left(\frac{1}{m^2} - \frac{1}{n^2} \right) \quad n > m$$

Série:

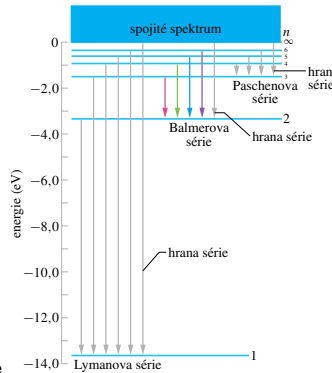
- Lymanova, $m = 1$
- Balmerova, $m = 2$
- Paschenova, $m = 3$
- Brackettova, $m = 4$
- Pfundtova, $m = 5$

Vlnočtom zodpovedajú energie fotónov:

$$\rho = \frac{1}{\lambda} = \frac{\nu}{c} = \frac{E}{hc}$$

Energii (vlnočtu) zodpovedá na grafe dĺžka čiary.

NB: v astrofyzikálnych pozorovaníach vidíme spektrá až do $n = 90 - 350$



9

Bohrov model atómu

Model je nesprávny, ale napriek tomu (vďaka šťastnej náhode) dáva dobré výsledky pre energie elektrónov v atóme a typické rozmery atómu. (Niels H.D. Bohr, 1913)

Klasický vzťah pre energiu elektrónu

$$E = E_{kin} + E_{pot} = \frac{1}{2} mr^2 \omega^2 - \frac{e^2}{4\pi\epsilon_0 r}$$

Coulombovská síla plní rolu odstredivej sily - môžem vyjadriť r

$$mr\omega^2 = \frac{e^2}{4\pi\epsilon_0 r^2}$$



Energia vyjadrená cez kruhovú frekvenciu

$$E = -\frac{1}{2} \frac{(e^4 m \omega^2)^{1/3}}{(4\pi\epsilon_0)^{2/3}}$$

Postuláty

1. Elektróny v atóme sa pohybujú podľa klasickej fyziky, ale len na niektorých dráhach.
2. Pri pohybe po týchto dráhach elektróny nežiaria. Pri prechode z jednej dráhy na druhú vyzieria fotón s frekvenciou $\nu = (E_n - E_m)/h$.

(Tento postulát je v rozpore s klasickou fyzikou, lebo tam pri pohybe po kružnici nabité čästice vyžarujú energiu.)

Energetické členy pritom sú:

$$E_n = -\frac{Rhc}{n^2}$$

10

Bohrov model atómu: určenie energetických hladín

Princíp korešpondencie:

Pri prechodoch medzi hladinami n a $n+1$ pre veľmi veľké n , musí frekvencia vyžiareného fotónu súhlasieť s predpovedou klasickej fyziky.

To znamená, že musí byť rovná frekvencii obiehania elektrónu na danej orbite.

$$\nu = Rc \left(\frac{1}{(n-1)^2} - \frac{1}{n^2} \right) \approx \frac{2Rc}{n^3} \quad \omega = 2\pi\nu = \frac{4\pi R c}{n^3} \quad -\frac{Rhc}{n^2} = -\frac{1}{2} \frac{(e^4 m \omega^2)^{1/3}}{(4\pi \varepsilon_0)^{2/3}}$$
$$R = R_\infty = \frac{me^4}{8\varepsilon_0^2 \hbar^3 c}$$

Rydbergova konštantă: $R_\infty = 10,973\ 731\ 8\ (12)\ \mu\text{m}^{-1}$

Základné charakteristiky Bohrovo atómu:

$$E_n = -\frac{e^4 m}{32\pi^2 \varepsilon_0^2 \hbar^2} \frac{1}{n^2}$$

$$r_n = \frac{4\pi \hbar^2 \varepsilon_0}{e^2 m} n^2 = a n^2$$

Bohrov polomer: $a = 0,529 \times 10^{-10}\ \text{m} = 52,9\ \text{pm}$

11

Bohrov model atómu: poznámky

Podobné vzťahy máme pre vodíkupodobné atómy, len treba nahradíť $e^2 \rightarrow Ze^2$.
Vodíkupodobné sú také atómy, kde máme jeden elektrón.

Tieto vzťahy sa dajú odvodiť aj tak, že predpokladáme, že na klasickú orbitu elektrónu v atóme sa dá uložiť práve celočíselný násobok de Broglieho vln elektrónu.

$$2\pi r_n = n\lambda = n \frac{h}{p} = n \frac{h}{m\omega_n r_n}$$

Energia základného stavu: $E_1 = -13,59\ \text{eV}$

Rydbergove atómy: stavy s veľkým n - veľký polomer

Pozitrónum, miónium - zmenené hmotnosti

Antivodík - rovnaké spektroskopické vlastnosti ako vodík

12